

地盤の液状化の判定システム

土地改良「耐震設計」&「ため池整備」(H27/5) 及び道示 (H29/11) に準拠

価格 ¥77,000-(税込)

OBB

新規購入の場合、別途プロテクト費用が必要です。

適用基準

- ○土地改良事業設計指針
 - ・「耐震設計」&「ため池整備」
- ○道路橋示方書・同解説
 - ・「V 耐震設計編」(H29/11)

解析手法

- ○液状化に対する抵抗率 F_L値 の計算(静的解析法)
- ○PL値、DEの判定
- ○液状化の判定が必要な土層か 否かの評価(項目別指定可)

| 計算範囲

○デフォルト値

F_L≤1.00:液状化層 F_L>1.00:非液状化層

- ○FL値の任意指定
- ○土層の評価:対象外の判定 ○N値、FL値のグラフを作成

主な機能

■ □ 条件を環体)とする (株)SPシステム ▼ □ 条件を環境とする 表 髓 团络桃示方者 計算例 通用基準 (通知株子大衆(新語(2)計論) (1629/11) 適用基準 |土地公具事業設計指針「ため池整備」(H27/05) 💌 🗁 条件を5提付3とする 表 髓 土地效良耐震流計 計算例 No 源状化層 挿入 不完全激状化層 非液状化層 有碳 ▽ 計算書にグラフを含める。 PL值(微块化指数) 3,706 (危険性小) 220 以下 228 起 グラフ表示設定 3.401 (危険性小) □ 010を印字(入力)する。 γ i1 γ i2 γ i2 0:N/m30 0:N/m30 0:N/m30 17.00 17.00 17.00 18.00 18.00 18.00 19.00 ▽ 地層線 ▽ 地下水位線 ▽ 流伏化評価基準 ▽ 深度メモリー ▽ 地層深度値 土の単重 γι2,γ12:地下水位。より下の土の単重および水中重量 FC:細粒分含有率 ね:塑性指数 050,010:平均粒径 (株) SIPシステム SIPOSAKAO 標 - 印刷項目 評価基準 1.00 以下 ☑ 計算書にグラフを含める。 液状化層 挿入 2.20 以下 不完全液状化層 グラフ表示設定 超 2.20 非液状化層 削除 FC≦35%を考慮
□ Þ≦15を考慮 ▶を印字(入力)する。 レベル レベルをタイプ! ▼ D10を印字(入力)する。 D50≦10mmを考慮 D10≦1mmを考慮

液状化対象層

・沖積層

- ・地下水位が現地盤面から 10m 以内
- ・現地盤面から 20m 以内
- ・ $FC \le 35\%$ あるいは $I_p \le 15$
- ・ D₅₀≦10mm かつ D₁₀≦1mm

本システムは、「土地改良」および「道路橋示方書」に準拠した液状化の判定 を行うシステムです。主な機能概要は、以下の通りです。

- 1.液状化の判定は、「土地改良耐震設計」「ため池整備」「道路橋示方書」より 指定が可能です。「ため池整備」の場合は、堤体形状に特化した判定が可能。
- 2.地下水位の入力が可能。また、グラフ上に水位線&▽マークを表示。
- 3.設計水平震度については、レベル 1 地震動及びレベル 2 (タイプ I 地震動 & II 地震動) の入力検討が可能。また、PL 値による検証も可能。
- 4.液状化の判定基準は、デフォルトとして $F_L \le 1$ (液状化層) としていますが、 F_L 値について判定項目行の追加(例:不完全液状化層)が可能。
- 5.液状化検討の対象の土層かどうかを判定する項目として **Ip**(塑性指数) や **D**₁₀(平均粒径)の入力を可能とし項目別に判定範囲の指定も可能。
- 6.地層数は最大30層可能。グラフ図の作成では層色やパターンの指定が可能。
- 7. 液状化とされた土層に対して DE 値(土質定数の低減係数) を表示。
- 8.計算書は、印刷プレビュー画面で内容確認後に印刷出力が可能。
- 9.出力帳票は印刷書式の指定が可能。また、Word 文章へ変換保存が可能。



(FAX): 072-268-5182

システム環境

(TEL): 072-268-5181

〇基 本OS : Windows8 (32bit&64bit)、Windows10&11 (64bit)

CONTACT

〇ハード環境 : HD 容量 500MB 以上、メモリ容量 4GB 以上

ACCESS

〇プロテクト方式 : HASP (USB) 方式、オンライン (IN) 方式、ネット認証システム (Lan 対応版)

○ お問合せ

株式会社 SIP システム

 $\mp 591-8002$

大阪府堺市北区-北花田町3丁17-24-303(堺事務所)

TEL: 072-268-5181 FAX: 072-268-5182

ご案内

・本商品に関するご質問、資料請求、見積依頼等につきましては、 お電話、メール等にて弊社「堺事務所」迄お問合わせ下さい。

(URL): https://www.sipc.co.jp (Mail): mail@sipc.co.jp

・弊社ホームページより各商品概要のリーフレット、出力例等の ダウンロードや体験版プログラムのお申込み等が可能です。

SIP ソフトウェア価格表 & 注文書

※価格は、全て消費税10%を含む「税込価格」で表示しています。

<2025/11 版>

						\ <u>-</u>	0 10 11 ////	
		商品名	HASP タイプ	本体価格(税込)	オンライン方式 登録済み/商品 購入費用(税込)	購入本数①	HASP 方式 HASP 購入+商品 購入費用(税込)	購入 本数2
	1	水器器計算システム Ver6.0(偏土圧/地震時 対応版)	Hs	¥198,000-	¥200,200-		¥214,500-	
	2	集水桝構造計算システム Ver5.0	Hs	¥209,000-	¥211,200-		¥225,500-	
構	3	RC擁護院やステム Ver42	Hc(s)	¥198,000-	¥200,200-		¥214,500-	
造計	4	無筋瘤彗號 システム Ver5.0	Hc(s)	¥198,000-	¥200,200-		¥214,500-	
計	5	ボックスカルバート設計システム (+ウイング設計) Ver2.2	Hc(s)	¥198,000-	¥200,200-		¥214,500-	
算	6	長方形板の計算システム Ver3.2	Hc(s)	¥110,000-	¥112,200-		¥126,500-	
	7	無圧トンネル構造指導システム Ver12	Hs	¥110,000-	¥112,200-		¥126,500-	
	8	8 杭基礎スラブ板の検討システム Ver1.0		¥104,500-	¥106,700-		¥121,000-	
	9	RC 水路橋造計算システム Ver 1.0	Hs	¥110,000-	¥112,200-		¥126,500-	
	10	洪州北野博システム Ver5.0	Hs	¥352,000-	¥354,200-		¥368,500-	
た	11	堤体の安定計算システム Ver4.4	Hc(s)	¥187,000-	¥189,200-		¥203,500-	
め	12	地盤の液状化の判定システム Ver2.0 Hc(s) ¥77,000- ¥79,200-		¥93,500-				
池	13	水野情システム (等流不等流・集排水) Ver2.2	Hs	¥187,000-	¥189,200-		¥203,500-	
	14	14 落差工水野情システム Ver 12 Hs		¥132,000-	¥134,200-		¥148,500-	
		管網: 質システム Ver3.4(+下記オプション選択可)	Hs	¥308,000-	¥310,200-		¥324,500-	
		1) DXFファイルコンバータ Ver1.0 (OP)		¥110,000-	¥112,200-		←	
パイ	15	2) 管路データ CSV 入出カシステム Ver1.0 (OP)	Hs	¥55,000-	¥57,200-		←	
プ		3) 上水道給水量計算システム Ver1.4 (OP)	Hs	¥55,000-	¥57,200-		←	
イプライン		4) かんがい用水量集計システム Ver1.2 (OP)	Hs	¥110,000-	¥112,200-		←	
1	16	管路構造計算システム Ver3.2	Hc(s)	¥220,000-	¥222,200-		¥236,500-	
	17	埋設管路の耐震器 サンステム Ver2.0	Hc(s)	¥220,000-	¥222,200-		¥236,500-	
	18	スラスト対策工設計システム Ver3.0	Hc(s)	¥198,000-	¥200,200-		¥214,500-	
その	19	調節地容量計算システム Ver3.2	Hs	¥165,000-	¥167,200-		¥181,500-	
の他	20	固定・医院情覚システム Ver3.0	Hs	¥165,000-	¥167,200-		¥181,500-	
積算	21	委託業務見積作成システム「あっと委託」Ver4.0	@国土3	交通省 / @農林水産	省 / @上下水道		@¥220,000-	
		① オンライン方式(I N回線を利用して商品 PRG 起動)	オンラー	イン方式初期登録費	用(初回時のみ)¥の	5,500-	・新規 ・登録済	
7	② HASP方式からオンライン方式へ移行する商品 プロ		オンラー	イン方式へ移行する)()-)	$\Sigma \Psi$	本	
	クト	③ HASP方式 (HASPでPRG 起動/複数商品登録可能)	HASP1	個に複数の商品を登録	います とうしょ ないまま はっぱい しゅうしゅう かいしゅう はいま はいま しゅう はい しゅう はい しゅう	ン方式の商品項目に記載	下さい。	
万	式	 ④ ネット認証システム(社内LAN/WAN 対応版)	社内LA	AN対応版(専用H	のみ)	¥55,000-	式	
			PCサー	バ変更による商品コート	ドの再発行(@¥2,200)-)	Σ¥	本
HA	HASP 費用(旧HASP な破損等により最新HASP への交換の場合)			弊社商品保有ユーザ-	¥16,500-	個		

[・]弊社ソフトウェアの運用に関し「メンテナンス保守契約」等の費用は不要です。但し、有償 VerUp のご案内時(不定期)、最新の VerUp 商品へ移行(申込み)頂ければ 次回の有償 VerUp 時まで、無償でメンテナンス保守(商品に関するお問い合わせや修正プログラムのダウンロード等)を継続して受けられます。

・プロテクト方式 (HASP・オンライン・ネット認証) につきまして、初期登録が降亡商品の追加登録が再登録を希望される場合、別途「¥2,200-/本」が必要です。

株式会社 S I Pシステム Fax No: 072-268-5182

注文書

※ご注文商品をご確認後	と、 必要事項をご記入	の上「FAX」「メール」等で送信・	・お申込み下さい。	申込日:	令和	年	月	
御社名			ご担当者名					
ご住所	〒		所 属					
CEM								
ご連絡先	Tel No.		Mail address					
支払いに関する	お支払い	、注文月末締めの翌月末迄の現金振込み、	でお願いしております	で。異なる場合は、貴	社支払、条	件をご記入	Fさい。	
お願い・希望納品日	貴社支払条件		希望納品日					
備考	※本注文書は、ユー	-ザー様の弊社 DB への登録も兼ねておりますの	で、貴計ソフトウェアで	** ** ** ** ** ** ** ** ** ** ** ** **	願い致します。			

株式会社 SIPシステム URL: https://www.sipc.co.jp Mail: mail@sipc.co.jp

地盤の液状化の判定システム Ver2.0

適用基準

- ○土地改良事業設計指針「耐震設計」(H27/5)
- ○道路橋示方書・同解説「V 耐震設計編」(H29/11)

出力例

○土地改良事業設計指針「耐震設計」(H27/5) の計算例

開発·販売元

(株)SIP システム お問合せ先 : 堺事務所 (技術サービス) 〒591-8002 大阪府堺市北区北花田町 3 丁-17-24-303 TEL: 072-268-5181 FAX: 072-268-5182

https://www.sipc.co.jp mail@sipc.co.jp



目 次

1	設計条	:件	
-	1.1	表題	
	1. 2	適用基準	
	1. 3	地盤構成	
	1. 4	地盤面における設計水平震度	
	1.5	評価基準	
2	事態の	液状化の判定	c
4	2.1		
	2. 1	計算式	
	2.2	全上載圧の計算	
	2.3	有効上載圧の計算	6
	2.4	レベル1地震動	
		2.4.1 繰返し三軸圧縮強度比の計算	
		2.4.2 地震時せん断応力比の計算	8
		2.4.3 液状化に対する抵抗率の計算	
		2.4.4 液状化層の判定	10
3	液状化	:指数(PL値)による判定	
	3. 1	計算式	
	3 2		10

1 設計条件

1.1 表題

土地改良耐震計算例 (レベル1)

1.2 適用基準

土地改良事業設計指針「耐震設計」 平成27年5月

1.3 地盤構成

	層厚	I EE	γ i1	γ i2	γ , $_{ m i2}$	N. /	$F_{\rm c}$	т	D_{50}	D ₁₀
	(m)	土質	(kN/m^3)	(kN/m^3)	(kN/m^3)	N値	(%)	$I_{\mathfrak{p}}$	(mm)	(mm)
1	1. 000	砂質土	20.00	18.00	8. 00	2.0	28. 0	32.0	0. 190	0.140
2	1. 000	砂質土	20.00	18.00	8. 00	7.0	28. 0	32.0	0. 190	0.140
3	1. 000	砂質土	20.00	18.00	8. 00	6.0	28.0	32.0	0. 190	0.140
4	1.000	砂質土	20.00	19.00	9. 00	6.0	20.0	23.0	0. 260	0.130
5	1. 000	砂質土	20.00	19.00	9. 00	4.0	20.0	23.0	0. 260	0.130
6	1.000	砂質土	20.00	19.00	9. 00	5.0	20.0	23.0	0. 260	0.130
7	1.000	砂質土	20.00	20.00	10.00	18.0	18.0	22.0	0. 340	0. 180
8	1. 000	砂質土	20.00	20.00	10.00	13.0	18.0	22.0	0.340	0.180
9	1.000	砂質土	19.00	19.00	9. 00	4.0	33. 0	28.0	0. 210	0.110
10	1.000	砂質土	19.00	19.00	9. 00	7.0	33. 0	28.0	0. 210	0.110
11	1. 000	砂質土	20.00	20.00	10.00	15.0	21.0	17.0	0. 320	0. 190
12	1. 000	砂質土	20.00	20.00	10.00	13.0	21.0	17.0	0. 320	0. 190
13	1. 000	砂質土	20.00	20.00	10.00	22.0	21.0	17.0	0. 320	0. 190
14	1. 000	砂質土	20.00	20.00	10.00	19.0	21.0	17.0	0. 320	0. 190
15	1. 000	れき質土	21.00	21.00	11. 00	42.0	11. 0	0.0	3. 820	0.850
16	1. 000	れき質土	21.00	21.00	11. 00	46.0	11. 0	0.0	3. 820	0.850
17	1.000	れき質土	21.00	21.00	11. 00	43.0	11. 0	0.0	3. 820	0.850
18	1. 000	れき質土	21.00	21.00	11. 00	40.0	13. 0	0.0	3. 420	0.660
19	1.000	れき質土	21.00	21.00	11. 00	43.0	13. 0	0.0	3. 420	0.660
20	1.000	れき質土	21.00	21.00	11. 00	45.0	13. 0	0.0	3. 420	0.660
Σ	20.000									

地下水位 G.L.-0.000 (m)

1.4 地盤面における設計水平震度

レベル1地震動 K_{hg} = 0.30 レベル2 タイプI地震動 ------レベル2 タイプII地震動 -----

1.5 評価基準

F_L ≤ 1.000 液状化層

F_L ≤ 2.200 不完全液状化層

F_L > 2.200 非液状化層

2 地盤の液状化の判定

2.1 計算式

液状化を生じる可能性があると判定された場合、式(1)~(12)により液状化に対する抵抗率 F_L を求め、この値が1.0以下の土層は地震時に液状化するものとみなす。

$$F_{L} = R/L$$
(1)

$$R = c_{\mathbf{w}} \cdot R_{\mathbf{L}}$$
 \cdots (2)

$$L = \gamma_{d} \cdot k_{hg} \cdot \sigma_{v} / \sigma'_{v} \qquad \cdots (3)$$

$$R_{L} = \begin{cases} 0.0882 \sqrt{N_{a}/1.7} & (N_{a} < 14) \\ 0.0882 \sqrt{N_{a}/1.7} + 1.6 \times 10^{-6} \cdot (N_{a} - 14)^{-4.5} & (N_{a} \ge 14) \end{cases} \cdots (4)$$

$$\gamma_{\rm d} = 1.0 - 0.015 x$$
(5)

$$\sigma_{v} = \gamma_{i1} \cdot h_{w} + \gamma_{i2} (x - h_{w}) \qquad \cdots (6)$$

$$\sigma'_{v} = \gamma_{i1} \cdot h_{w} + \gamma'_{i2} (x - h_{w}) \qquad \cdots (7)$$

$$N_a = \begin{cases} c_1 \cdot N_1 + c_2 & (砂質土の場合) \\ \left\{ 1 - 0.36 \log_{10} (D_{50}/2) \right\} \cdot N_1 & (れき質土の場合) \end{cases}$$
(9)

$$c_{1} = \begin{cases} 1.0 & (0\% \le FC < 10\%) \\ (FC+40)/50 & (10\% \le FC < 60\%) \\ FC/20-1 & (60\% \le FC) \end{cases}$$
(11

$$c_{2} = \begin{cases} 0.0 & (0\% \le FC < 10\%) \\ (FC-10)/18 & (10\% \le FC) \end{cases} \dots \dots (12)$$

ここで、FL: 液状化に対する抵抗率

R: 動的せん断強度比

L: 地震時せん断応力比

cw: 地震動特性による補正係数

RL: 繰返し三軸圧縮強度比

γ α: 地震時せん断応力比の深さ方向の低減係数

k_{hg}: 地盤面における設計水平震度

 σ_{v} : 全上載圧 (kN/m^2)

 σ'_{v} : 有効上載圧 (kN/m^2)

x: 地表面からの深さ (m)

γ_{ii}: 地下水位面より浅い位置での土の単位体積重量 (kN/m³)

γ₁₂: 地下水位面より深い位置での土の単位体積重量 (kN/m³)

γ',2: 地下水位面より深い位置での土の有効単位体積重量 (kN/m³)

h_w: 地下水位の深さ (m)

I,: 塑性指数

N: 標準貫入試験から得られるN値

N₁: 有効上載圧 100kN/m²相当に換算したN値

Na: 粒度の影響を考慮した補正N値

c1, c2: 細粒分含有率によるN値の補正係数

FC: 細粒分含有率 (%)

(粒径75 μm 以下の土粒子の通過質量百分率)

D50: 50%粒径(平均粒径) (mm)

D₁₀: 10%粒径 (mm)

土質定数の低減係数Daは以下の表より求める。

		動的せん断強度比 R						
	現地盤面からの	R≦	0.3	0.3 <r< td=""></r<>				
F _L の範囲	深度 x(m)	レベル1地 震動に対す る照査	レベル 2 地 震動に対す る照査	レベル1地 震動に対す る照査	レベル 2 地 震動に対す る照査			
E < 1/9	0≤x≤10	1/6	0	1/3	1/6			
$F_L \leq 1/3$	10 <x≦20< td=""><td>2/3</td><td>1/3</td><td>2/3</td><td>1/3</td></x≦20<>	2/3	1/3	2/3	1/3			
$1/3 < F_L \le 2/3$	0≦x≦10	2/3	1/3	1	2/3			
1/3 \ Γ∟≦2/3	$10 < x \le 20$	1	2/3	1	2/3			
2/3 <f<sub>L≦1</f<sub>	0≤x≤10	1	2/3	1	1			
2/3 \ Γ _L ≥ 1	10 <x≦20< td=""><td>1</td><td>1</td><td>1</td><td>1</td></x≦20<>	1	1	1	1			

[※] F_L>1.0 及び x>20m の場合 D_E=1 とする。

2.2 全上載圧の計算

	地表面から の深さ (m)	全上載圧 σ、(kN/m²)	
1	0.500	18. 00×0. 500	9.00
2	1.500	9. 00+18. 00×0. 500+18. 00×0. 500	27.00
3	2.500	27. 00+18. 00×0. 500+18. 00×0. 500	45.00
4	3.500	45. 00+18. 00×0. 500+19. 00×0. 500	63. 50
5	4. 500	63. 50+19. 00×0. 500+19. 00×0. 500	82. 50
6	5. 500	82. 50+19. 00×0. 500+19. 00×0. 500	101.50
7	6.500	$101.50+19.00\times0.500+20.00\times0.500$	121.00
8	7. 500	$121.00+20.00\times0.500+20.00\times0.500$	141.00
9	8.500	$141.00+20.00\times0.500+19.00\times0.500$	160. 50
10	9.500	$160.50+19.00\times0.500+19.00\times0.500$	179. 50
11	10.500	$179.50+19.00\times0.500+20.00\times0.500$	199.00
12	11.500	199. $00+20.\ 00\times0.\ 500+20.\ 00\times0.\ 500$	219.00
13	12.500	$219.00+20.00\times0.500+20.00\times0.500$	239. 00
14	13. 500	239. 00+20. 00×0. 500+20. 00×0. 500	259.00
15	14. 500	259. 00+20. 00×0. 500+21. 00×0. 500	279. 50
16	15. 500	$279.50+21.00\times0.500+21.00\times0.500$	300. 50
17	16. 500	$300.50+21.00\times0.500+21.00\times0.500$	321.50
18	17. 500	$321.50+21.00\times0.500+21.00\times0.500$	342.50
19	18.500	$342.50+21.00\times0.500+21.00\times0.500$	363. 50
20	19.500	$363.50+21.00\times0.500+21.00\times0.500$	384. 50

2.3 有効上載圧の計算

	地表面から の深さ (m)	有効上載圧 σ'、(kN/m²)	
1	0.500	8. 00×0. 500	4.00
2	1. 500	4. 00+8. 00×0. 500+8. 00×0. 500	12.00
3	2.500	12. 00+8. 00×0. 500+8. 00×0. 500	20.00
4	3.500	20. 00+8. 00×0. 500+9. 00×0. 500	28. 50
5	4.500	28. 50+9. 00×0. 500+9. 00×0. 500	37. 50
6	5. 500	37. 50+9. 00×0. 500+9. 00×0. 500	46. 50
7	6.500	46. 50+9. 00×0. 500+10. 00×0. 500	56.00
8	7. 500	56. 00+10. 00×0. 500+10. 00×0. 500	66.00
9	8.500	66. 00+10. 00×0. 500+9. 00×0. 500	75. 50
10	9.500	75. $50+9.00\times0.500+9.00\times0.500$	84. 50
11	10.500	84. 50+9. 00×0. 500+10. 00×0. 500	94.00
12	11.500	94. 00+10. 00×0. 500+10. 00×0. 500	104.00
13	12.500	$104.00+10.00\times0.500+10.00\times0.500$	114. 00
14	13.500	$114.00+10.00\times0.500+10.00\times0.500$	124. 00
15	14. 500	$124.00+10.00\times0.500+11.00\times0.500$	134. 50
16	15. 500	$134.50+11.00\times0.500+11.00\times0.500$	145. 50
17	16. 500	$145.50+11.00\times0.500+11.00\times0.500$	156. 50
18	17. 500	156. 50+11. 00×0 . 500+11. 00×0 . 500	167. 50
19	18. 500	$167.50+11.00\times0.500+11.00\times0.500$	178. 50
20	19. 500	$178.50+11.00\times0.500+11.00\times0.500$	189. 50

2.4 レベル1地震動

地盤面における設計水平震度 K_{Hg}=0.30

2.4.1 繰返し三軸圧縮強度比の計算

	N	FC (%)	D ₅₀ (mm)	$\sigma'_{\rm v}$ $({\rm kN/m}^2)$	C ₁	C_2	N_1	N_{α}	$R_{ m L}$
1	2.0	28. 0	0. 190	4.00	1. 360	1. 000	4. 595	7. 249	0. 182
2	7. 0	28. 0	0. 190	12.00	1. 360	1. 000	14. 512	20. 737	0. 317
3	6. 0	28. 0	0. 190	20.00	1. 360	1. 000	11. 333	16. 413	0. 274
4	6.0	20.0	0. 260	28.50	1. 200	0. 556	10. 355	12. 982	0. 244
5	4.0	20.0	0. 260	37. 50	1. 200	0. 556	6. 326	8. 146	0. 193
6	5. 0	20.0	0. 260	46. 50	1. 200	0. 556	7. 296	9. 311	0. 206
7	18.0	18.0	0.340	56.00	1. 160	0. 444	24. 286	28. 616	0.641
8	13.0	18.0	0.340	66.00	1. 160	0. 444	16. 250	19. 294	0.300
9	4.0	33.0	0. 210	75. 50	1. 460	1. 278	4. 674	8. 101	0. 193
10	7. 0	33.0	0.210	84. 50	1. 460	1. 278	7. 702	12. 523	0. 239
11	15. 0	21.0	0.320	94.00	1. 220	0.611	15. 549	19. 581	0.303
12	13. 0	21.0	0.320	104.00	1. 220	0.611	12. 701	16. 107	0. 272
13	22.0	21.0	0.320	114.00	1. 220	0.611	20. 326	25. 409	0. 433
14	19. 0	21.0	0.320	124.00	1. 220	0.611	16. 649	20. 923	0.319
15	42.0	11.0	3.820	134. 50	1. 020	0.056	34. 914	31. 382	0. 988
16	46.0	11.0	3.820	145. 50	1. 020	0.056	36. 288	32. 616	1. 216
17	43.0	11.0	3.820	156. 50	1. 020	0.056	32. 274	29. 009	0.679
18	40.0	13.0	3. 420	167. 50	1. 060	0. 167	28. 632	26. 230	0.472
19	43.0	13.0	3. 420	178. 50	1. 060	0. 167	29. 416	26. 949	0. 513
20	45.0	13.0	3. 420	189. 50	1. 060	0. 167	29. 480	27. 007	0. 517

ただし、R_L:繰返し三軸圧縮強度比

2.4.2 地震時せん断応力比の計算

	x (m)	γd	$k_{ m hg}$	$\sigma_{\rm v}$ (kN/m ²)	σ'_{v} (kN/m^2)	L
1	0.500	0. 993	0.30	9.00	4.00	0.670
2	1.500	0. 978	0.30	27. 00	12.00	0.660
3	2. 500	0. 963	0.30	45.00	20.00	0.650
4	3. 500	0. 948	0.30	63.50	28.50	0. 633
5	4. 500	0. 933	0.30	82. 50	37. 50	0.615
6	5. 500	0. 918	0.30	101.50	46. 50	0.601
7	6. 500	0. 903	0.30	121.00	56.00	0. 585
8	7. 500	0.888	0.30	141.00	66.00	0. 569
9	8. 500	0.873	0.30	160. 50	75. 50	0. 556
10	9. 500	0.858	0.30	179. 50	84. 50	0. 546
11	10. 500	0.843	0.30	199.00	94.00	0. 535
12	11. 500	0.828	0.30	219.00	104.00	0. 523
13	12. 500	0.813	0.30	239. 00	114.00	0. 511
14	13. 500	0. 798	0.30	259.00	124.00	0.500
15	14. 500	0. 783	0.30	279. 50	134. 50	0. 488
16	15. 500	0. 768	0.30	300. 50	145. 50	0. 476
17	16. 500	0. 753	0.30	321.50	156. 50	0. 464
18	17. 500	0. 738	0.30	342.50	167. 50	0. 452
19	18. 500	0. 723	0.30	363.50	178. 50	0. 441
20	19. 500	0. 708	0.30	384. 50	189. 50	0. 431

ただし、L:地震時せん断応力比

2.4.3 液状化に対する抵抗率の計算

	X	R_{L}	C_{w}	R	L	$F_{\rm L}$	$D_{\rm E}$
1	0.500	0. 182	1. 000	0. 182	0.670	0. 272	1/6
2	1.500	0.317	1. 000	0. 317	0.660	0.480	1
3	2.500	0. 274	1. 000	0. 274	0.650	0.422	2/3
4	3. 500	0. 244	1. 000	0. 244	0.633	0.385	2/3
5	4. 500	0. 193	1. 000	0. 193	0.615	0.314	1/6
6	5. 500	0. 206	1. 000	0. 206	0.601	0.344	2/3
7	6. 500	0.641	1. 000	0. 641	0. 585	1.096	1
8	7. 500	0.300	1. 000	0.300	0. 569	0. 527	2/3
9	8. 500	0. 193	1. 000	0. 193	0. 556	0.346	2/3
10	9.500	0. 239	1. 000	0. 239	0. 546	0.438	2/3
11	10.500	0.303	1. 000	0. 303	0. 535	0.566	1
12	11. 500	0. 272	1. 000	0. 272	0. 523	0. 519	1
13	12.500	0. 433	1. 000	0. 433	0. 511	0.846	1
14	13. 500	0.319	1. 000	0. 319	0.500	0.639	1
15	14. 500	0. 988	1. 000	0. 988	0. 488	2.025	1
16	15. 500	1. 216	1. 000	1. 216	0.476	2. 556	1
17	16.500	0.679	1.000	0.679	0.464	1.464	1
18	17.500	0.472	1.000	0. 472	0.452	1.042	1
19	18.500	0. 513	1.000	0. 513	0.441	1. 162	1
20	19. 500	0. 517	1. 000	0. 517	0. 431	1. 200	1

ただし、FL:液状化に対する抵抗率

2.4.4 液状化層の判定

	x (m)	FC (%)	I_P	判 定 1	D ₅₀ (mm)	判 定 2	D ₁₀ (mm)	判 定 3	$F_{\rm L}$	液状化の判定
1	0.500	28.0	32.0	YES	0. 190	YES	0. 140	YES	0. 272	液状化層
2	1. 500	28.0	32.0	YES	0. 190	YES	0. 140	YES	0.480	液状化層
3	2.500	28.0	32.0	YES	0. 190	YES	0. 140	YES	0. 422	液状化層
4	3. 500	20.0	23. 0	YES	0. 260	YES	0. 130	YES	0.385	液状化層
5	4. 500	20.0	23. 0	YES	0. 260	YES	0. 130	YES	0.314	液状化層
6	5. 500	20.0	23. 0	YES	0. 260	YES	0. 130	YES	0.344	液状化層
7	6. 500	18.0	22. 0	YES	0.340	YES	0. 180	YES	1. 096	不完全液状化層
8	7. 500	18.0	22. 0	YES	0.340	YES	0. 180	YES	0. 527	液状化層
9	8. 500	33.0	28. 0	YES	0. 210	YES	0.110	YES	0.346	液状化層
10	9. 500	33.0	28. 0	YES	0. 210	YES	0.110	YES	0. 438	液状化層
11	10. 500	21.0	17. 0	YES	0.320	YES	0. 190	YES	0. 566	液状化層
12	11. 500	21.0	17. 0	YES	0.320	YES	0. 190	YES	0. 519	液状化層
13	12. 500	21.0	17. 0	YES	0.320	YES	0. 190	YES	0.846	液状化層
14	13. 500	21.0	17. 0	YES	0.320	YES	0. 190	YES	0. 639	液状化層
15	14. 500	11.0	0.0	YES	3.820	YES	0.850	YES	2. 025	不完全液状化層
16	15. 500	11.0	0.0	YES	3.820	YES	0.850	YES	2. 556	非液状化層
17	16. 500	11.0	0.0	YES	3.820	YES	0.850	YES	1. 464	不完全液状化層
18	17. 500	13. 0	0.0	YES	3. 420	YES	0.660	YES	1.042	不完全液状化層
19	18. 500	13. 0	0.0	YES	3. 420	YES	0.660	YES	1. 162	不完全液状化層
20	19. 500	13. 0	0.0	YES	3. 420	YES	0.660	YES	1. 200	不完全液状化層

各判定で[YES]は液状化判定を行う必要がある土層、[NO]は液状化判定対象外の土層。

全ての判定が[YES]の場合にFLにより評価を行う。

判定1:FC≦35% または I_P≦15 なら[YES]、当てはまらない場合は[NO]

判定2: D₅₀≤10(mm) なら[YES]、当てはまらない場合は[NO] 判定3: D₁₀≤1(mm) なら[YES]、当てはまらない場合は[NO]

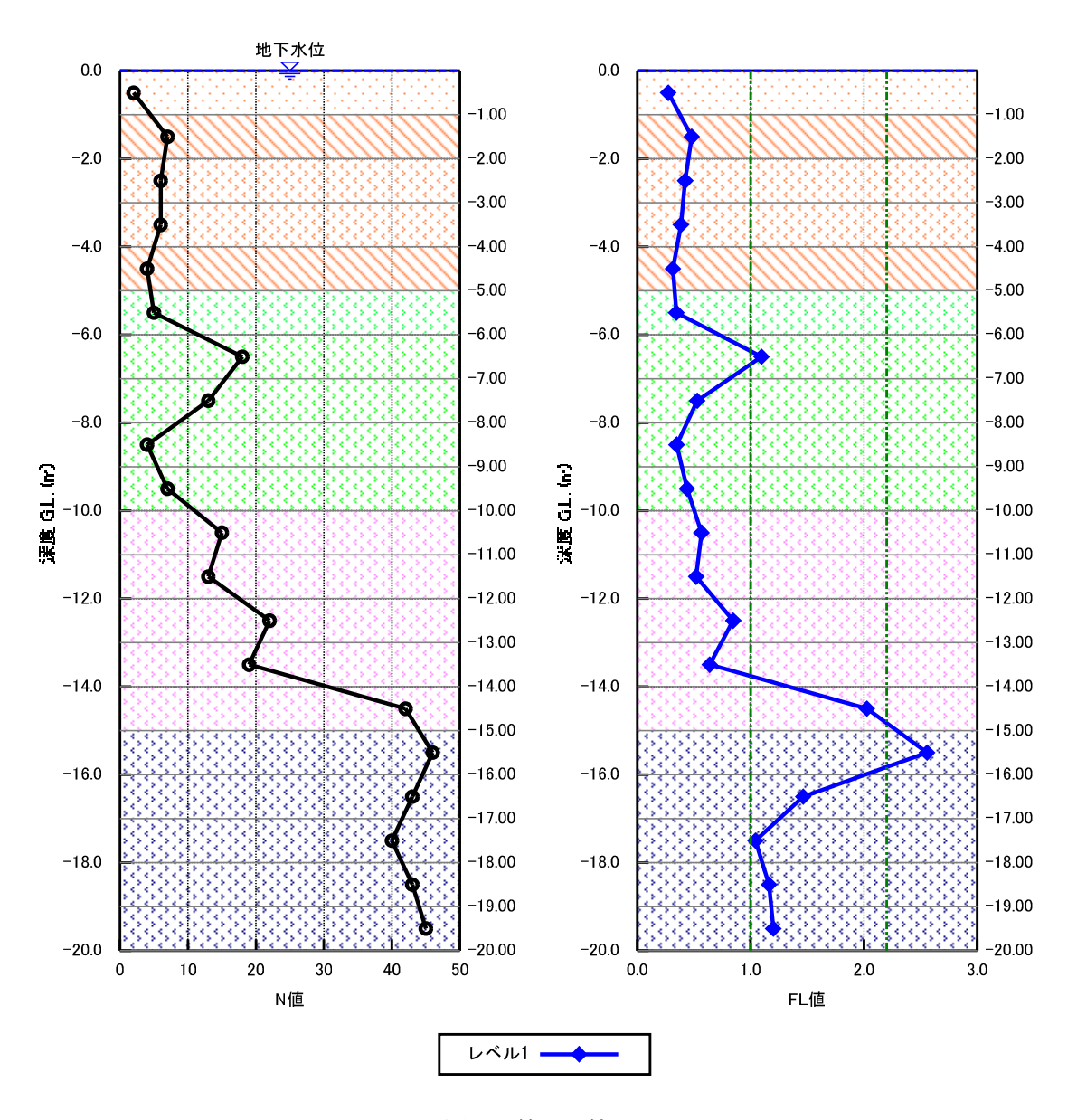


図-1 N値・FL値

3 液状化指数(PL値)による判定

3.1 計算式

$$\Delta P_{L} = (1-F_{L}) (10-0.5x) H_{i}$$
(13)

$$P_{L} = \Sigma \Delta P_{L} \qquad \cdots \cdots (14)$$

ここで、PL: 液状化指数

ΔP_L: 深さxでの層による液状化指数

F_L: 液状化に対する抵抗率(F_L≥1の場合F_L=1とする)

H_i: 層厚 (m)

x: 地表面からの深さ(20m以下) (m)

P _L >15	液状化の危険性が極めて高い。液状化に関する詳細な調査と液状化対策は 不可避。				
5 <p<sub>L≤15 液状化の危険性が高い。重要な構造物に対して、より詳細な調査 液状化対策が一般に必要。</p<sub>					
0 <p<sub>L≤5</p<sub>	液状化の危険度は低い。特に重要な構造物の設計に際しては、より詳細な 調査が必要。				
$P_L = 0$	液状化の危険性はかなり低い。液状化に関する詳細な調査は一般的に不 要。				

3.2 PL値の計算

		層厚	レベル 1		レベル2			
	深度				タイプ I		タイプⅡ	
	x (m)	Hi(m)	$F_{\rm L}$	$\DeltaP_{ m L}$	$F_{\rm L}$	$\Delta\mathrm{P_L}$	$F_{\rm L}$	$\Delta\mathrm{P_L}$
1	0.500	1.000	0. 272	7. 099				
2	1.500	1.000	0.480	4. 812				
3	2.500	1.000	0. 422	5. 058				
4	3. 500	1.000	0. 385	5. 075				
5	4. 500	1.000	0.314	5. 319				
6	5. 500	1.000	0. 344	4. 759				
7	6. 500	1.000	1. 096	0.000				
8	7. 500	1.000	0. 527	2. 953				
9	8. 500	1.000	0. 346	3. 760				
10	9.500	1.000	0. 438	2. 950				
11	10.500	1.000	0. 566	2.060				
12	11. 500	1.000	0. 519	2. 042				
13	12.500	1.000	0.846	0. 576				
14	13.500	1.000	0.639	1. 175				
15	14. 500	1.000	2. 025	0.000				
16	15. 500	1.000	2. 556	0.000				
17	16. 500	1.000	1. 464	0.000				
18	17. 500	1.000	1. 042	0.000				
19	18. 500	1.000	1. 162	0.000				
20	19. 500	1.000	1. 200	0.000				
合計 P _L				47. 639				
評 価			危険性極大					